

利用尿液蛋白质组学对阿托伐他汀进行药物一致性评价

赵晨阳¹, 陈昱臻¹, 付晓越¹, 侯芙芳¹, 高友鹤^{1*}

¹ (北京师范大学基因工程药物及生物技术北京市重点实验室 北京 100875)

摘要:

[目的] 通过尿液蛋白质组学分析对阿托伐他汀片进行药物一致性评价。

[方法] 分别建立两种药厂的阿托伐他汀片大鼠灌胃模型, 收集灌胃前后的尿液, 并使用液相色谱串联质谱技术 (LC-MS/MS) 对提取的尿蛋白进行分析, 并通过 DAVID 数据库对差异蛋白进行生物学通路分析。

[结果] 灌胃后和灌胃前作比较, 在药物 A 组灌胃模型中共鉴定到 116 个差异蛋白, 在药物 B 组灌胃模型中共鉴定到 66 个差异蛋白, 其中有 24 个蛋白被共同鉴定到。这些差异蛋白倾向于参与细胞黏附、内肽酶活性的负调控、蛋白水解等生物学通路。

[结论] 针对产自不同药厂的阿托伐他汀片, 我们可以通过尿蛋白检测到它们之间的差别, 这验证了尿蛋白的灵敏性, 同时提示着尿液蛋白质组学在药物一致性评价上有很大潜力。

关键词: 尿液, 蛋白质组学, 药物一致性评价

Drug consistency evaluation of atorvastatin by urine proteomic

Chenyang Zhao¹ Yuzhen Chen¹ Xiaoyue Fu¹ Fufang Hou¹ Youhe Gao^{1*}

¹(Gene Engineering Drug and Biotechnology Beijing Key Laboratory, Beijing Normal University, Beijing 100871, China)

Abstract:

[Objective] The drug consistency evaluation of atorvastatin by urine proteomic analysis.

[Methods] Intragastric administration rat models were established by atorvastatin from two companies. Urine samples were collected from rats before and after intragastric administration. Urine proteins were profiled using liquid chromatography coupled with tandem mass spectrometry (LC-MS/MS), and the biological pathway of the differential proteins was analyzed by DAVID database.

[Results] The differential proteins were selected by comparing the after intragastric administration to before intragastric administration. A total of 116 differential proteins were identified in group A and 66 differential proteins in group B, and 24 proteins were identified in common between two groups. These differential proteins tend to be involved in biological pathways such as cell adhesion, negative regulation of endopeptidase activity and proteolysis.

[Conclusions] For two kind of atorvastatin, we can detect small differences in urinary protein between them, which confirms the sensitivity of urinary protein and suggests that urine proteomics has great potential for the Drug consistency evaluation.

Keywords: urine; proteomics; drug consistency evaluation

基金项目: 国家重点研发计划课题 (2018YFC0910202); 中央高校基本科研业务费专项资金 (2020KJZX002); 北京师范大学 (11100704)

作者简介: 1. 赵晨阳 (1998.03—), 女, 硕士研究生, 主要研究方向: 尿液生物标志物; 2. 陈昱臻 (2001.07—), 女, 本科生; 3. 付晓越 (2002.01—), 女, 本科; 4. 侯芙芳 (2001.07—), 女, 本科生。

通信联系人: 高友鹤 (1964.06—), 男, 教授, 博士生导师, 主要研究方向: 尿液蛋白质组学与尿液生物标志物. E-mail: gaoyouhe@bnu.edu.cn.

1 引言

目前评价药物一致性采用的是化学和生物方法:化学方法是通过测定药物的溶出曲线等;生物方法多是对健康受试者进行药物的试用,通过空腹服药和采集静脉血,检测后对比相关指标得出被测药物是否具有一致性的结论。根据现有的药物一致性评价方法,我们产生了利用尿液蛋白生物标志物进行一致性评价的设计思路。生物标志物最基本的特征是“变化”,合适的生物标志物能够更早、更灵敏地反映身体变化。血液作为常用的检测样本,有着严格的稳态调控,其中大多数变化信息会被机体的调节机制清除,仅在相当短的时间内存在。相比之下,尿液是血液滤过的产物,不受体内稳态机制的严格调节,可以容纳并积累更多、更大的变化^[1],且尿蛋白可在较长时间内保持稳定^[2],尿液蛋白质组的复杂性相对较低,更容易检测到低丰度蛋白质的变化特征^[3],可见尿液是良好的生物标志物来源。由于尿液蛋白质组易受多种因素的影响,如饮食、药物治疗、日常活动等,要使实验结果更为准确,关键是采用简单且可控制的系统。由于动物模型的遗传和环境因素可以人为控制,能够最大程度减小无关的影响因素,因此采用动物模型是一种非常合适的实验方法。那么对于最广泛应用的他汀类降脂药,我们能否可以从尿液的角度对原研药和仿制药进行一致性评价呢?

他汀类药物是一种还原酶抑制剂(HMG-CoA),是临床上广泛使用的降血脂药物^[4]。其降脂作用机制为竞争性抑制胆固醇合成的限速酶——羟甲基戊二酰辅酶A还原酶,从而降低细胞内的胆固醇水平;同时这一机制也可以上调患者肝细胞表面的低密度蛋白质的受体表达,从而对患者体内的血脂进行调节^[5]。此外,他汀类药物还有除调脂以外的多种疗效,它的多效性在治疗动脉粥样硬化、冠心病、心房颤动、室性心律失常、抗心肌肥厚等方面发挥了重要作用^[6]。本研究通过将合适剂量的两种阿托伐他汀片分别灌胃到大鼠,收集了大鼠灌胃前后的尿液并进行非标记定量蛋白质组学分析,探究了两种药物灌胃后的蛋白质组变化并进行比较,创新性地为药物一致性评价提供了新的评价方法。

2 材料与方法

2.1 灌胃动物模型的建立

健康SD(SpragueDawley)雄性大鼠(160±20g),10只,购于北京维通利华实验动物技术有限公司。大鼠在标准环境中(室温(22±1)℃,湿度65%-70%)饲养三天后开始实验,一切实验操作遵循北京师范大学生命科学学院伦理委员会的审查和批准。

灌胃动物模型建立方法如下:采用自身前后对照的方式,将10只大鼠随机均分为A、B两组,A组用A厂药物溶于生理盐水中进行灌胃操作,B组用B厂药物溶于生理盐水中进行灌胃操作,A、B两种药物剂型相同,剂量均为10mg/kg,一天一次,持续5天,每天称取大鼠重量,按大鼠重量给与对应剂量的药品。

2.2 尿液样品的收集

给大鼠灌胃给药处理前统一将大鼠置于代谢笼中收集12h的尿液,然后在标准环境下饲养3天后进行灌胃给药,每天1次,连续5天,第5天灌胃给药处理后再将大鼠置于代谢笼中收集12h的尿液,在尿液收集过程中大鼠禁食禁水,两次收集的尿液都放入-80℃冰箱保存。

2.3 尿液样品的处理

尿蛋白提取和定量:将2个时间点收集到的大鼠尿液在4℃的条件下以12000×g离心40min,取上清液转移到新的EP管中,三倍上清体积加入预冷乙醇。均匀混合后在-20℃条件下沉淀过夜。第二天将乙醇上清混合液于4℃,12000×g离心30min,弃上清,留蛋白沉

淀，倒扣于滤纸上，用吹风机冷风吹干；后将蛋白沉淀重悬于 120ul 裂解液中(8mol/L 尿素，2mol/L 硫脲，25mmol/L 二硫苏糖醇，50mmol/L Tris)，用枪头反复吹打，直到无沉淀为止，并于涡旋混合器完全混匀 2 小时。混合均匀后 4℃的条件下 12000×g 离心 30min，取上清蛋白置于新的 EP 管内，用 Bradford 法测量蛋白浓度。

尿蛋白酶切：取 100ug 尿蛋白样品加入到 10kDa 超滤管的滤膜(Pall, Port Washington, NY, USA)上，置于 1.5mL 离心管中，加入 25 mmol/L NH_4HCO_3 溶液使总体积为 200uL。后加入 20mM 二硫苏糖醇溶液 (Dithiothreitol, DTT, Sigma)，涡旋混匀后，金属浴 97℃加热 5min，冷却至室温。加入 50 mM 的碘乙酰胺 (Iodoacetamide, IAA, Sigma)，混匀后点甩一下，室温避光反应 40min。而后进行洗膜操作：①加入 200ul UA 溶液(8mol/L 尿素，0.1mol/L Tris-HCl, pH8.5)，按照 14000×g 5min 18℃的条件离心洗涤两次；②上样：加入刚刚处理的样品，在 14000×g 40min 18℃ 条件下进行离心；③加入 200uL UA 溶液，18℃条件下按 14000×g 离心 40min，重复两次；④加入 25 mmol/L NH_4HCO_3 溶液，在 14000×g 40min 18℃条件下离心，重复两次；⑤以胰酶：蛋白为 1: 50 的比例加入胰蛋白酶 (Trypsin Gold, Promega, Fitchburg, WI, USA) 进行消化，37℃水浴过夜。最后通过 HLB 柱(Waters, Milford, MA)除盐，用真空干燥仪进行抽干，存入-80℃条件下保存。

2.4 LC-MS/MS 串联质谱分析

酶解后的样品加入 0.1%的甲酸复溶，使用 BCA 试剂盒对肽段进行定量，将肽段浓度稀释为 0.5ug/uL。取每个样品 9ul 制备混合多肽样，按照说明书，使用高 pH 反相肽分离试剂盒(Thermo Fisher Scientific)进行分离。离心收集十份流出液 (Fractions)，使用真空干燥仪抽干后用 0.1%甲酸水复溶。以样品：iRT 为 10: 1 的体积比例加入 iRT (Biognosis 公司)。每个样品 (单个实验样品和十个 Fractions) 取 1ug 使用 EASY-nLC1200 色谱系统(Thermo Fisher Scientific, USA)和 Orbitrap Fusion Lumos Tribrid 质谱仪(Thermo Fisher Scientific, USA)进行质谱分析并采集数据。

2.5 数据处理

十个 Fractions 的 raw 文件通过 PD (Proteome Discoverer 2.1) 软件进行分析，分析结果用于建立 DIA 采集方法。新建立的 DIA 方法用于进行单个样品的 DIA 模式采集。采集结束使用 Spectronaut X 软件对质谱数据进行处理和分析。导入每个样本 DIA 采集的 raw 文件进行搜库。采用二级肽段所有碎片离子峰面积进行蛋白定量。

2.6 数据分析

采取自身对照的方式，将灌胃前后鉴定到的蛋白进行比较，进行差异蛋白的筛选。差异蛋白筛选条件为：组间变化倍数 (Fold change) ≥ 1.5 或 ≤ 0.67 ，配对 t 检验分析的 P 值校正值 < 0.05 。对筛选到的差异蛋白使用 Uniprot 网站 (<https://www.uniprot.org/>) 和 DAVID 数据库 (<https://david.ncifcrf.gov/>) 进行生物学分析，并在 Pubmed 数据库上对已报道文献进行检索对差异蛋白进行功能分析。

3 结果与分析

3.1 实验动物的行为学分析

本研究中，在造模前后对 A、B 两组大鼠进行行为学观察，从行为学观察来看，两组大鼠活动正常，饮食饮水均正常，且两组大鼠相比，无明显的行为学差异。同时在灌胃给药处理前及给药处理 5 天时间里，两组大鼠体重均持续增加，生长状况正常，具体的体重变化见

图 1。

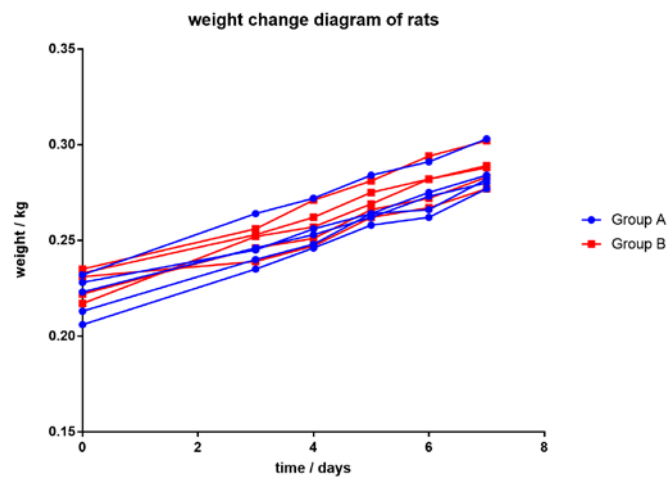


图 1 A、B 组大鼠体重变化图

Figure 1 Weight changes of rats in group A and group B.

3.2 尿液蛋白质组变化分析

(1) 尿液蛋白质鉴定情况

在灌胃给药处理后，对所收集到的两组大鼠共 20 个尿液蛋白样品（灌胃前后）进行 LC-MS/MS 串联质谱分析。总共鉴定到 1261 个蛋白（特异性多肽 ≥ 2 个，蛋白水平 FDR $<1\%$ ），对 A、B 两组大鼠灌胃后的尿液和灌胃前尿液进行比较，筛选差异蛋白的标准为：组间变化倍数 FC ≥ 1.5 或 ≤ 0.67 ，双尾非配对 t 检验 P <0.05 。结果表明，相对于灌胃给药前，灌胃给 A 药后鉴定到 116 个差异蛋白，灌胃给 B 药后鉴定到 66 个差异蛋白，差异蛋白的详细信息列于表 1（A 组）和表 2（B 组）。用韦恩图展示了 A、B 两种药物灌胃处理后鉴定到的差异蛋白的重叠情况（图 2），其中有 24 个蛋白在两组大鼠中均被鉴定到，同时我们对总蛋白进行了偏最小二乘法判别分析（PLS-DA），结果如图 3 所示。

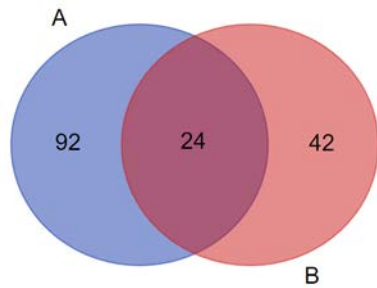


图 2 A、B 两组大鼠灌胃给药处理鉴定到的差异蛋白的韦恩图

Figure 2 The Venn diagram of differential proteins identified by intragastric administration of rats in group A and B.

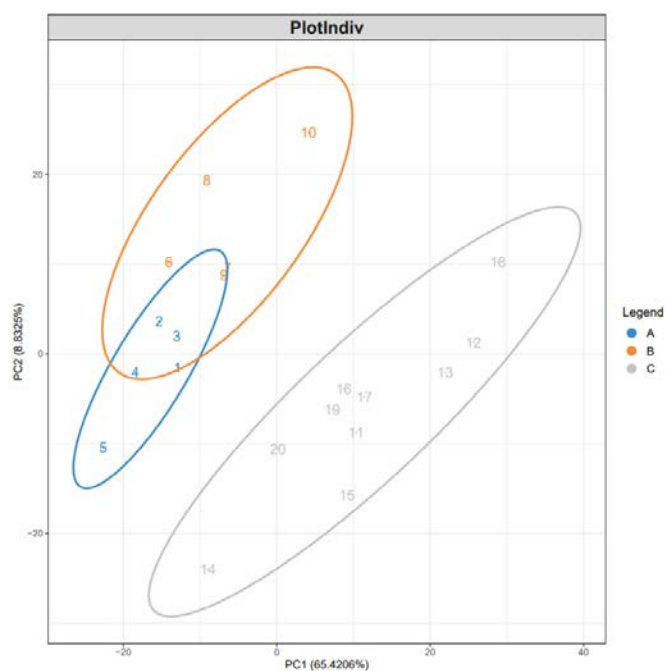


图 3 鉴定总蛋白偏最小二乘法判别分析结果

Figure 3 Partial least squares-discriminant analysis of the identified urine proteins.

(2) 灌胃 A 组大鼠差异蛋白功能分析

使用 DAVID 数据库 (<https://david.ncifcrf.gov/>) 对灌胃 A 组大鼠鉴定到的差异蛋白从生物学过程、细胞成分和分子功能三个方面进行功能富集分析 (图 3)。从图中可以看出, 这些差异蛋白主要参与了细胞黏附、底物黏附依赖性细胞扩散、内肽酶活性的负调控、肽基酪氨酸磷酸化的正向调控、细胞迁移、蛋白水解等生物学过程。在细胞成分上, 这些差异蛋白大多来自胞外和细胞质膜外, 而在分子功能中, 我们发现这些差异蛋白大多具有整合素结合、水解酶活性、丝氨酸型内肽酶抑制剂的活性、胰岛素样生长因子结合等功能。

(3) 灌胃 B 组大鼠差异蛋白功能分析

同上, 我们通过功能分析发现 (图 4), 灌胃 B 组大鼠鉴定到的差异蛋白主要参与了蛋白水解、肝细胞生长因子刺激的细胞反应、免疫反应、半胱氨酸代谢、甲状腺激素刺激的细胞反应、谷胱甘肽代谢等生物学过程。在细胞成分上, 这些差异蛋白仍旧是源于胞外区、分泌体; 在分子功能中, 差异蛋白主要具有肽酶活性、羧肽酶活性、水解酶活性、肽链内切酶抑制剂活性、谷氨酰半胱氨酸连接酶等功能。

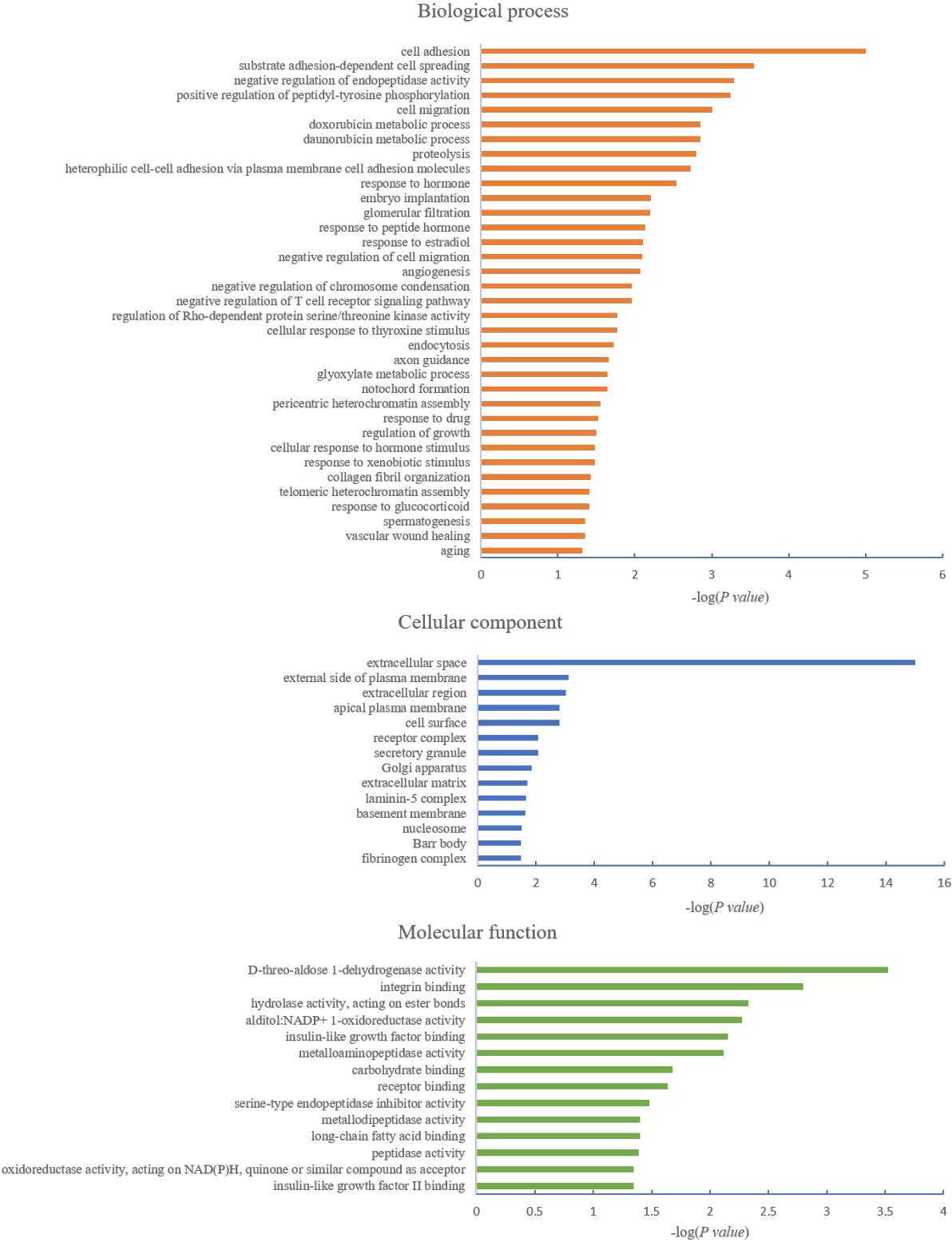


图 4 A 组灌胃大鼠差异蛋白功能分析
Figure 4 Functional analysis of differential proteins in group A.

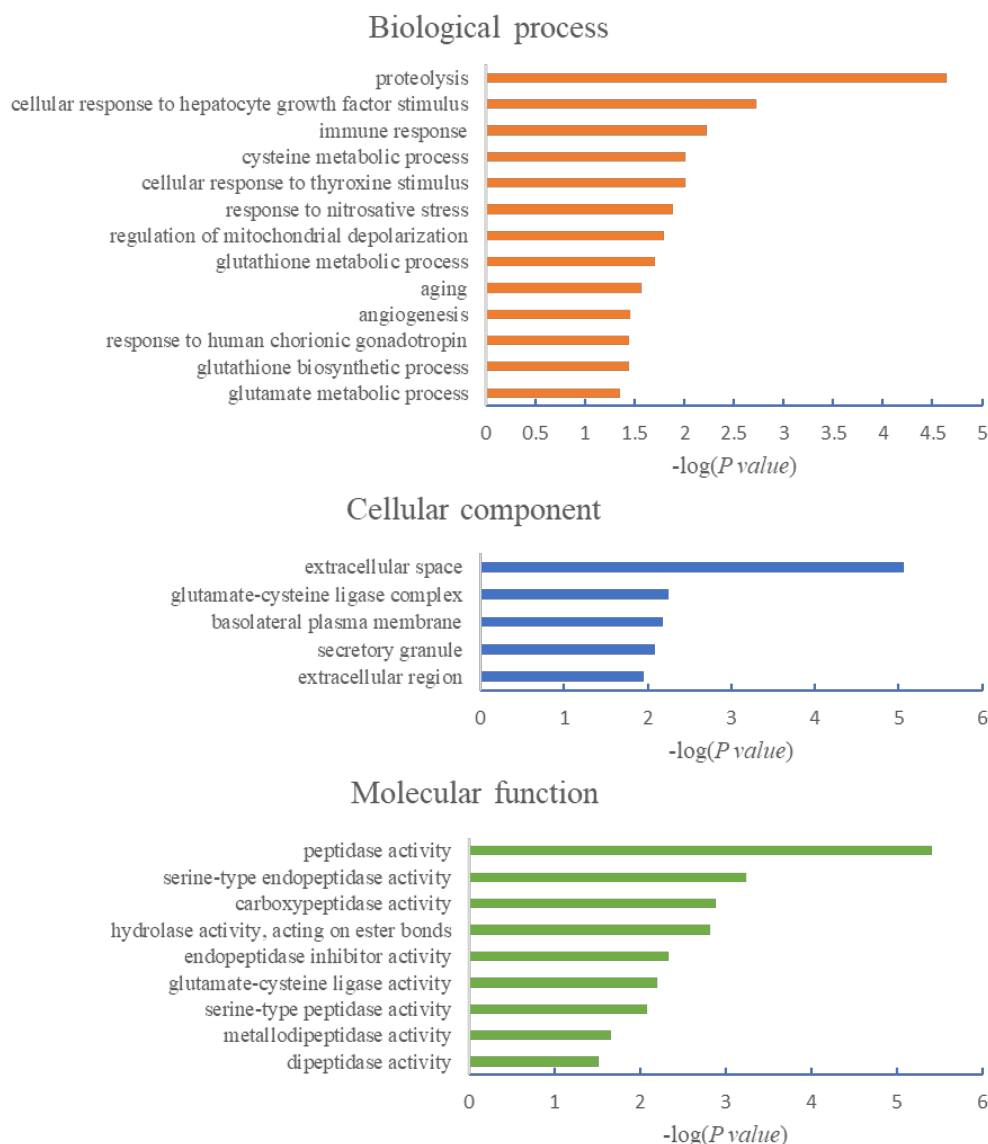


图 5 B 组灌胃大鼠差异蛋白功能分析

Figure 5 Functional analysis of differential proteins in group B.

4 讨论

本研究使用了源于两种药厂的阿托伐他汀片分别建立了大鼠灌胃模型,通过对灌胃前后收集的尿液进行非标记 LC-MS/MS 质谱鉴定和分析,探究不同药厂制药对大鼠尿蛋白的影响。统计分析结果显示,将灌胃后尿液和灌胃前尿液进行对比,在 A 组灌胃模型中共鉴定到 116 个差异蛋白,在 B 组灌胃模型中共鉴定到 66 个差异蛋白,其中有 24 个蛋白在两组中都被鉴定到。

根据偏最小二乘法判别分析结果我们可以发现,尿蛋白可以显示出阿托伐他汀对机体的显著影响,而不同厂家的两种成分、剂型、剂量一致的药物产生的影响也有差异能被观测到,这说明我们能从尿蛋白中看到很细致的变化。从差异蛋白的生物学功能分析结果上看,我们不能很明显的区分出这些影响源自于药物的药理作用还是毒理作用,首先我们没有观察到有显著的和降脂有关的生物学通路,其次如果有他汀类药物副作用的话,我们可能会看到和平

滑肌细胞迁移、血小板黏附下调相关的生物学通路^[7]，而这些在本研究中并没有观测到。在目前的研究阶段来看，可能是因为剂量的问题让我们没有看到显著的药理或毒理作用，但在本研究中，即使是很小的剂量，我们依旧可以通过尿液来观测到机体受到的影响，这充分说明了尿液的灵敏性，以及其用来作为药物一致性评价方法的巨大潜力。

5 结论

通过建立阿托伐他汀大鼠灌胃模型，我们能从尿液上显著区分药物带来的影响；针对产自不同药厂的阿托伐他汀片，尿蛋白甚至可以检测到两种药物之间细致的差别，这充分验证了尿液的灵敏性，同时提示着尿液蛋白质组学在药物一致性评价上有很大潜力。

表 1 A 组鉴定到的尿液差异蛋白

Table 1 The differential proteins identified in group A.

| Accession | Protein names | Fold change | Trend | P value |
|------------|--|-------------|-------|----------|
| P42854 | Regenerating islet-derived protein 3-gamma | 24.39 | ↑ | 1.04E-02 |
| P21708 | Mitogen-activated protein kinase 3 | 5.29 | ↑ | 1.87E-02 |
| M0R9A3 | Uncharacterized protein | 4.23 | ↑ | 2.40E-02 |
| G3V8X9 | Serine | 3.82 | ↑ | 6.40E-03 |
| D3ZJF8 | Fc fragment of IgG-binding protein | 3.61 | ↑ | 4.13E-02 |
| D4A400 | Lactoperoxidase | 3.20 | ↑ | 2.66E-02 |
| A0A1R3UCK1 | Kallikrein k | 3.15 | ↑ | 1.14E-02 |
| M0R7L1 | Lipase | 3.08 | ↑ | 2.06E-02 |
| D3ZUQ1 | Lipase | 2.90 | ↑ | 1.55E-02 |
| Q66HG3 | Beta-Ala-His dipeptidase | 2.83 | ↑ | 1.97E-03 |
| A0A0G2JXE0 | Histone H2B | 2.78 | ↑ | 1.94E-02 |
| Q6IE55 | Glandular kallikrein-10 | 2.60 | ↑ | 1.93E-02 |
| Q4KLZ6 | Triokinase/FMN cyclase | 2.60 | ↑ | 1.95E-02 |
| B0BMY8 | Histone H3 | 2.59 | ↑ | 2.53E-02 |
| A9UMV8 | Histone H2A.J | 2.59 | ↑ | 6.66E-03 |
| F1M091 | Kallikrein m | 2.56 | ↑ | 2.77E-02 |
| B0BN46 | Glyoxylate and hydroxypyruvate reductase | 2.38 | ↑ | 6.35E-03 |
| M0R7T8 | Similar to Vomeromodulin | 2.35 | ↑ | 2.95E-02 |
| P51635 | Aldo-keto reductase family 1 member A1 | 2.31 | ↑ | 7.54E-03 |
| Q9WUW9 | Sulfotransferase 1C2A | 2.21 | ↑ | 9.39E-03 |
| A0A0G2K931 | Phosphoserine aminotransferase | 2.15 | ↑ | 9.72E-03 |
| Q6VPP3 | Chloride channel accessory 4 | 2.13 | ↑ | 3.28E-02 |
| O88267 | Acyl-coenzyme A thioesterase 1 | 2.11 | ↑ | 1.95E-02 |
| Q5XIF6 | Tubulin alpha-4A chain | 2.06 | ↑ | 3.18E-02 |
| Q641Z6 | EH domain-containing protein 1 | 2.02 | ↑ | 4.57E-02 |
| P48508 | Glutamate--cysteine ligase regulatory subunit | 2.02 | ↑ | 4.75E-02 |
| D3ZHD1 | Annexin | 2.00 | ↑ | 2.25E-02 |
| B2RZ72 | Actin-related protein 2/3 complex subunit 4 | 1.97 | ↑ | 4.17E-02 |
| Q6P6V0 | Glucose-6-phosphate isomerase | 1.96 | ↑ | 4.12E-02 |
| Q66HT1 | Fructose-bisphosphate aldolase | 1.92 | ↑ | 2.17E-02 |
| P35446 | Spondin-1 | 1.92 | ↑ | 1.13E-02 |
| A0A0G2JYA4 | Serine/threonine-protein phosphatase | 1.90 | ↑ | 4.22E-02 |
| F1LMP9 | Disabled homolog 2 | 1.89 | ↑ | 2.87E-02 |
| A0A0G2JV31 | X-prolyl aminopeptidase | 1.88 | ↑ | 2.65E-02 |
| F1LU12 | Similar to 20-alpha-hydroxysteroid dehydrogenase | 1.86 | ↑ | 1.54E-03 |
| D4AB20 | Hexosyltransferase | 1.85 | ↑ | 3.50E-02 |
| P27867 | Sorbitol dehydrogenase | 1.84 | ↑ | 1.12E-02 |
| D3ZS19 | Alpha-2-macroglobulin-like 1 | 1.84 | ↑ | 4.45E-02 |
| Q8CG45 | Aflatoxin B1 aldehyde reductase member 2 | 1.84 | ↑ | 4.38E-02 |
| Q6Q0N1 | Cytosolic non-specific dipeptidase | 1.81 | ↑ | 2.22E-02 |

(续上表)

| Accession | Protein names | Fold change | Trend | P value |
|------------|--|-------------|-------|----------|
| P14408 | Fumarate hydratase, mitochondrial | 1.81 | ↑ | 3.68E-02 |
| G3V6Y3 | Kinesin-like protein | 1.81 | ↑ | 1.54E-02 |
| A0A0G2JT25 | L-xylulose reductase | 1.79 | ↑ | 2.00E-02 |
| D4A5I9 | Unconventional myosin-6 | 1.77 | ↑ | 1.88E-02 |
| Q5XI89 | NXPE family member 4 | 1.75 | ↑ | 3.90E-03 |
| D3ZP47 | 14 kDa phosphohistidine phosphatase | 1.73 | ↑ | 3.57E-02 |
| D3ZH39 | Receptor protein-tyrosine kinase | 1.71 | ↑ | 2.93E-05 |
| P30349 | Leukotriene A-4 hydrolase | 1.71 | ↑ | 3.82E-02 |
| P35213 | 14-3-3 protein beta/alpha | 1.68 | ↑ | 1.52E-02 |
| Q5I0D7 | Xaa-Pro dipeptidase | 1.66 | ↑ | 3.35E-02 |
| B5DER3 | Isoamyl acetate-hydrolyzing esterase 1 homolog | 1.65 | ↑ | 3.49E-02 |
| Q5M8C6 | Fibrinogen-like protein 1 | 1.64 | ↑ | 2.67E-02 |
| O35142 | Coatomer subunit beta' | 1.63 | ↑ | 1.69E-03 |
| D3ZAN3 | Alpha glucosidase 2 alpha neutral subunit | 1.61 | ↑ | 1.66E-02 |
| P52759 | 2-iminobutanoate/2-iminopropanoate deaminase | 1.59 | ↑ | 1.36E-02 |
| A0A0G2K7Y7 | Kinesin-like protein | 1.59 | ↑ | 1.27E-03 |
| P50137 | Transketolase | 1.58 | ↑ | 3.67E-02 |
| A0A0F7RQL3 | Macrophage migration inhibitory factor | 1.57 | ↑ | 1.99E-02 |
| Q63530 | Phosphotriesterase-related protein | 1.51 | ↑ | 1.75E-02 |
| F1M7F7 | Complement component C6 | 0.67 | ↓ | 4.45E-02 |
| G3V6K1 | Transcobalamin 2, isoform CRA_a | 0.67 | ↓ | 1.12E-02 |
| Q5FVP9 | Cfh protein | 0.67 | ↓ | 2.05E-02 |
| Q63467 | Trefoil factor 1 | 0.67 | ↓ | 1.80E-02 |
| P08932 | T-kininogen 2 | 0.66 | ↓ | 3.72E-02 |
| G3V8G5 | Golgi apparatus protein 1 | 0.66 | ↓ | 1.66E-02 |
| A0A0G2K2W0 | Protein-tyrosine-phosphatase | 0.66 | ↓ | 3.95E-02 |
| F1MAN8 | Laminin subunit alpha 5 | 0.66 | ↓ | 3.78E-02 |
| P97553 | Ephrin-A1 | 0.66 | ↓ | 3.11E-03 |
| D3ZZT9 | Collagen type XIV alpha 1 chain | 0.66 | ↓ | 1.09E-02 |
| Q63691 | Monocyte differentiation antigen CD14 | 0.66 | ↓ | 6.40E-03 |
| Q62997 | GDNF family receptor alpha-1 | 0.66 | ↓ | 4.47E-02 |
| D3ZTM7 | EF-hand calcium-binding domain 14 | 0.65 | ↓ | 4.51E-02 |
| D4A5C0 | Nectin cell adhesion molecule 3 | 0.65 | ↓ | 1.51E-03 |
| P21704 | Deoxyribonuclease-1 | 0.65 | ↓ | 4.08E-02 |
| F7FHF3 | Serpin family F member 2 | 0.65 | ↓ | 4.58E-02 |
| F1M4J1 | Dyslexia susceptibility 2-like | 0.65 | ↓ | 7.72E-03 |
| A0A0G2K135 | Complement factor I | 0.65 | ↓ | 4.98E-02 |
| P07897 | Aggrecan core protein | 0.64 | ↓ | 4.44E-03 |
| F1LZJ4 | Putative hydroxypyruvate isomerase | 0.64 | ↓ | 3.06E-04 |
| P25236 | Selenoprotein P | 0.64 | ↓ | 4.73E-02 |

(续上表)

| Accession | Protein names | Fold change | Trend | P value |
|------------|--|-------------|-------|----------|
| B0BN41 | RGD1565410 protein | 0.64 | ↓ | 1.61E-02 |
| Q5XIE8 | Integral membrane protein 2B | 0.64 | ↓ | 2.24E-03 |
| F1M9B2 | Insulin-like growth factor binding protein 7, isoform CRA_b | 0.63 | ↓ | 1.14E-02 |
| Q8CIN0 | Receptor-like protein tyrosine phosphatase gamma S-type isoform | 0.63 | ↓ | 1.47E-02 |
| A0A0G2JU92 | Embigin | 0.63 | ↓ | 5.80E-03 |
| A0A0G2JUT1 | Cell adhesion molecule 1 | 0.63 | ↓ | 3.69E-02 |
| D3ZPC4 | Neural cell adhesion molecule L1 | 0.62 | ↓ | 2.29E-02 |
| P57097 | Tyrosine-protein kinase Mer | 0.62 | ↓ | 4.09E-02 |
| G3V964 | Neurotrimin | 0.61 | ↓ | 8.41E-03 |
| A0A0G2K926 | Murinoglobulin-1 | 0.61 | ↓ | 3.58E-02 |
| A0A0G2K423 | Growth hormone receptor | 0.61 | ↓ | 6.13E-04 |
| A0A0G2JSJ5 | Anthrax toxin receptor 1 | 0.61 | ↓ | 1.35E-02 |
| D3ZD19 | Extracellular link domain-containing 1 | 0.61 | ↓ | 4.87E-03 |
| A0A0G2K2L1 | Podocalyxin | 0.61 | ↓ | 9.28E-03 |
| Q6AYE5 | Out at first protein homolog | 0.60 | ↓ | 5.22E-03 |
| Q5GAM6 | Angiogenin ribonuclease 1 | 0.59 | ↓ | 4.88E-02 |
| G3V7K2 | Leukemia inhibitory factor receptor | 0.58 | ↓ | 3.16E-05 |
| D3Z841 | Butyrophilin-like 10 | 0.58 | ↓ | 2.05E-02 |
| B1PLB1 | CD34 antigen | 0.57 | ↓ | 4.85E-03 |
| F1LRH4 | Laminin subunit gamma 2 | 0.57 | ↓ | 2.74E-02 |
| Q9EPF2 | Cell surface glycoprotein MUC18 | 0.57 | ↓ | 3.02E-03 |
| Q9WVH8 | Fibulin-5 | 0.56 | ↓ | 4.16E-02 |
| G3V8V1 | Granulin, isoform CRA_c | 0.55 | ↓ | 1.24E-02 |
| P01830 | Thy-1 membrane glycoprotein | 0.55 | ↓ | 2.68E-02 |
| B5DEM1 | Follicle stimulating hormone beta subunit | 0.54 | ↓ | 3.72E-02 |
| Q99PW7 | Follistatin-related protein 3 | 0.54 | ↓ | 1.31E-02 |
| P07483 | Fatty acid-binding protein, heart | 0.50 | ↓ | 6.09E-03 |
| A0A0G2JXZ9 | Protein-tyrosine-phosphatase | 0.50 | ↓ | 9.91E-06 |
| P12843 | Insulin-like growth factor-binding protein 2 | 0.50 | ↓ | 1.48E-02 |
| Q8VHC1 | Cystatin E/M | 0.48 | ↓ | 1.62E-03 |
| P14480 | Fibrinogen beta chain | 0.48 | ↓ | 1.28E-02 |
| D3ZRD9 | Allograft inflammatory factor 1-like | 0.47 | ↓ | 7.57E-03 |
| B4F7A5 | CD99 molecule | 0.43 | ↓ | 4.00E-02 |
| D4A3W2 | Crumbs cell polarity complex component 2 | 0.39 | ↓ | 1.02E-03 |
| P97574 | Stanniocalcin-1 | 0.36 | ↓ | 4.30E-03 |
| P21743 | Insulin-like growth factor-binding protein 1 | 0.31 | ↓ | 9.24E-05 |

表 2 B 组鉴定到的尿液差异蛋白

Table 2 The differential proteins identified in group B.

| Accession | Protein names | Fold change | Trend | P value |
|------------|--|-------------|-------|----------|
| A9CMA3 | Alpha-1,6-mannosyl-glycoprotein 6-beta-N-acetylglucosaminyltransferase | 16.96 | ↑ | 7.25E-03 |
| P42854 | Regenerating islet-derived protein 3-gamma | 5.74 | ↑ | 2.56E-02 |
| M0RDL2 | Ig-like domain-containing protein | 5.48 | ↑ | 3.11E-02 |
| G3V8J3 | Chymotrypsin-like | 4.71 | ↑ | 3.81E-02 |
| B0BNN3 | Carbonic anhydrase 1 | 3.51 | ↑ | 3.60E-02 |
| D3ZFF8 | Ig-like domain-containing protein | 3.51 | ↑ | 4.78E-02 |
| A0A142BM04 | Anti-F4/80 kappa light chain variable region | 3.39 | ↑ | 3.94E-02 |
| D3ZDK4 | Angiopoietin-like 7 | 3.12 | ↑ | 3.95E-02 |
| A0A1R3UCK1 | Kallikrein k | 2.73 | ↑ | 2.59E-03 |
| F1M091 | Kallikrein m | 2.68 | ↑ | 6.88E-03 |
| Q6IE55 | Glandular kallikrein-10 | 2.59 | ↑ | 2.46E-02 |
| D3ZUQ1 | Lipase | 2.37 | ↑ | 8.50E-03 |
| A0A0G2K9Z5 | Ig-like domain-containing protein | 2.20 | ↑ | 5.18E-03 |
| M0R7L1 | Lipase | 2.13 | ↑ | 1.17E-02 |
| Q9WUQ4 | Secretory leukocyte protease inhibitor | 2.09 | ↑ | 7.74E-03 |
| D4A400 | Lactoperoxidase | 2.04 | ↑ | 3.86E-02 |
| B5DFA0 | Villin-1 | 1.99 | ↑ | 1.61E-03 |
| A0A0G2JZN1 | Ig-like domain-containing protein | 1.98 | ↑ | 3.66E-02 |
| P51635 | Aldo-keto reductase family 1 member A1 | 1.96 | ↑ | 1.09E-02 |
| Q66HG3 | Beta-Ala-His dipeptidase | 1.96 | ↑ | 2.40E-02 |
| Q9WUW9 | Sulfotransferase 1C2A | 1.93 | ↑ | 2.22E-02 |
| D4AB20 | Hexosyltransferase | 1.88 | ↑ | 9.57E-04 |
| A0A0G2K1U8 | Chymotrypsin-C | 1.87 | ↑ | 1.02E-02 |
| P01041 | Cystatin-B | 1.81 | ↑ | 9.08E-04 |
| M0R7T8 | Similar to Vomeromodulin | 1.80 | ↑ | 4.28E-02 |
| Q66HT1 | Fructose-bisphosphate aldolase | 1.78 | ↑ | 2.81E-02 |
| A0A0G2JSV5 | 3-hydroxyanthranilate 3,4-dioxygenase | 1.76 | ↑ | 1.36E-02 |
| D3ZQR5 | Ig-like domain-containing protein | 1.76 | ↑ | 3.04E-03 |
| O08557 | N | 1.75 | ↑ | 9.94E-03 |
| Q63530 | Phosphotriesterase-related protein | 1.71 | ↑ | 1.07E-02 |
| B6DYQ5 | Glutathione S-transferase omega | 1.71 | ↑ | 1.40E-02 |
| Q6Q0N1 | Cytosolic non-specific dipeptidase | 1.71 | ↑ | 1.54E-02 |
| A0N4E8 | Productively rearranged V-lambda-2 | 1.67 | ↑ | 3.83E-02 |
| P19468 | Glutamate--cysteine ligase catalytic subunit | 1.67 | ↑ | 4.67E-02 |
| D3ZHD1 | Annexin | 1.67 | ↑ | 1.73E-02 |
| D3ZUX1 | Hydroxylysine kinase | 1.65 | ↑ | 1.99E-02 |
| Q6MG61 | Chloride intracellular channel protein 1 | 1.63 | ↑ | 1.41E-03 |
| Q6AYQ9 | Peptidyl-prolyl cis-trans isomerase | 1.63 | ↑ | 3.13E-02 |
| A0A0H2UHA7 | Solute carrier family 15 | 1.62 | ↑ | 1.81E-02 |
| Q68FS4 | Cytosol aminopeptidase | 1.62 | ↑ | 2.62E-02 |

(续上表)

| Accession | Protein names | Fold change | Trend | P value |
|------------|--|-------------|-------|----------|
| Q5PPH0 | Enolase-phosphatase E1 | 1.62 | ↑ | 4.61E-02 |
| P48508 | Glutamate--cysteine ligase regulatory subunit | 1.61 | ↑ | 3.38E-02 |
| G3V8C4 | Chloride intracellular channel protein | 1.61 | ↑ | 3.64E-02 |
| E9PTY1 | Opiorphin prepropeptide | 1.60 | ↑ | 1.49E-02 |
| Q6AYS7 | Aminoacylase-1A | 1.59 | ↑ | 2.86E-02 |
| F1LRH8 | Solute carrier organic anion transporter family member | 1.59 | ↑ | 2.93E-02 |
| P46720 | Solute carrier organic anion transporter family member 1A1 | 1.57 | ↑ | 4.62E-02 |
| P54759 | Ephrin type-A receptor 7 | 1.55 | ↑ | 4.33E-02 |
| D3ZP47 | 14 kDa phosphohistidine phosphatase | 1.54 | ↑ | 4.99E-02 |
| Q9JJ40 | Na | 1.54 | ↑ | 4.20E-02 |
| Q8R431 | Monoglyceride lipase | 1.54 | ↑ | 4.54E-02 |
| Q6IN11 | CCN family member 2 | 1.53 | ↑ | 4.66E-02 |
| Q5M7T9 | Threonine synthase-like 2 | 1.53 | ↑ | 1.51E-02 |
| Q3TIJ1 | Eukaryotic translation initiation factor 5A-1 | 1.51 | ↑ | 4.67E-02 |
| Q91YB6 | Complement inhibitory factor H | 0.66 | ↓ | 2.62E-03 |
| D3ZCG9 | Integrin alpha 3 variant A | 0.66 | ↓ | 4.16E-02 |
| A0A0G2JXZ9 | Protein-tyrosine-phosphatase | 0.65 | ↓ | 2.03E-02 |
| Q62609 | Noelin | 0.65 | ↓ | 1.80E-02 |
| F1LZJ4 | Putative hydroxypyruvate isomerase | 0.63 | ↓ | 3.90E-02 |
| A0A0G2JU92 | Embigin | 0.63 | ↓ | 9.36E-03 |
| D3ZWD6 | Complement C8 alpha chain | 0.61 | ↓ | 2.48E-02 |
| B4F7A5 | CD99 molecule | 0.60 | ↓ | 2.13E-02 |
| Q8CG43 | MASP-3 protein | 0.59 | ↓ | 4.54E-02 |
| A0A0A0MXV3 | Cell growth regulator with EF hand domain 1, isoform CRA_b | 0.56 | ↓ | 2.85E-02 |
| P21743 | Insulin-like growth factor-binding protein 1 | 0.50 | ↓ | 2.58E-02 |
| D3ZRD9 | Allograft inflammatory factor 1-like | 0.46 | ↓ | 1.77E-02 |

参考文献:

1. Gao, Y., Urine—an untapped goldmine for biomarker discovery? *Science China. Life sciences*, 2013. **56**(12): p. 1145-1146.
2. Good, D.M., et al., Body fluid proteomics for biomarker discovery: lessons from the past hold the key to success in the future. *J Proteome Res*, 2007. **6**(12): p. 4549-55.
3. Paul, P., et al., Bioinformatics for Renal and Urinary Proteomics: Call for Aggrandization. *Int J Mol Sci*, 2020. **21**(3).
4. 赵娜, 石靖. 他汀类药物质量一致性评价的技术要求探讨 [J]. *中国医药工业杂志*, 2021, 52(03):400-406. DOI:10.16522/j.cnki.cjph.2021.03.017. .
5. 张冰, 王莉莉. [J]. *国际药学研究杂志*, 2013, 40(05):560-564+572.
6. 沈雁岩, 张延勋. 他汀类药物多效性在心血管疾病中应用的研究进展 [J]. *医学综述*, 2012, 18(16):2612-2616.
7. Wei, J., et al., Dynamic urine proteome changes in a rat model of simvastatin-induced skeletal muscle injury. *J Proteomics*, 2022. **254**: p. 104477.

作者贡献声明：

高友鹤：提出研究思路，设计研究方案；

赵晨阳、陈昱臻、付晓越、侯芙芳：进行实验、论文起草

赵晨阳：采集、分析、处理数据；

高友鹤：论文最终版本修订。